

ЯМР ДОМЕННЫХ ГРАНИЦ КУБИЧЕСКОГО ФЕРРИТА-ГРАНАТА С ОСЯМИ ЛЕГКОГО НАМАГНИЧИВАНИЯ (111)

© Р.А.Дорошенко, С.В.Серегин, Р.С.Фазретдинова

Институт физики молекул и кристаллов Российской академии наук,
450065 Уфа, Россия

(Поступила в Редакцию 29 мая 1996 г.)

Рассмотрены условия формирования сигналов ЯМР в блоховской доменной границе многоосного магнетика при произвольной ориентации оси одноосной анизотропии. Численными методами получена форма линии ЯМР 180° , 71° и 109° доменных границ в кубическом кристалле со структурой граната. Определена зависимость частоты сигналов ЯМР и положения соответствующих ядер и ДГ от ориентации плоскости границы.

В настоящее время при интерпретации свойств сигналов ядерного магнитного резонанса доменных границ (ЯМР ДГ) многоосных магнетиков часто используются понятия теории, развитой для случая 180° градусной границы в одноосном магнетике [1]. Особенности структуры ДГ [2] и анизотропии локального магнитного поля [3] в ферритах-гранатах предполагают более сложный характер спектра. В настоящей работе установлена связь особенностей в спектре ЯМР ДГ от величины анизотропии локального магнитного поля и определена ее зависимость от ориентации плоскости 180° , 71° и 109° ДГ кубических кристаллов со структурой граната. Для некоторых ориентаций рассчитана форма линии сигналов поглощения.

Рассмотрим плоскую доменную границу, разделяющую два домена, направления намагниченности в которых заданы векторами M_1 и M_2 . В локальной системе координат (ось e_z направлена вдоль нормали к плоскости границы, $e_y = (M_2 - M_1)/|M_2 - M_1|$ и $e_x = |e_y \times e_z|$) распределение намагниченности запишем через компоненты единичного вектора $m = M/|M|$

$$m_x = \sin \theta \cos \varphi, \quad m_y = \sin \theta \sin \varphi, \quad m_z = \cos \theta, \quad (1)$$

где θ и φ — полярный и азимутальный углы. Для блоховской границы $\cos \theta = \cos(\varphi/2) \sin \psi$, где φ — угол между M_1 и M_2 , ψ — угол вращения плоскости границы вокруг оси e_y , а единственной переменной является угол φ , изменяющийся в интервале $[-\varphi_0, \varphi_0]$. Границы интервала определяются уравнением $\sin \varphi_0 = \sin(\varphi/2)/\sin \theta$.

Согласно [4], сингулярности в спектре поглощения связаны с корнями уравнения

$$d\nu_n(\varphi)/d\varphi = 0, \quad (2)$$

где функция $\nu_n(\varphi)$ — зависимость частоты ЯМР ядра от его положения в ДГ. При малой одноосной анизотропии локального магнитного поля $\nu_n(\varphi) = 1 - 3\alpha^2$, где α — косинус угла между направлением магнитного момента и локальной осью анизотропии. Безразмерная единица частоты ν связана с угловой частотой ω соотношением

$$\nu = \frac{\omega - \omega_{\max} - (\omega_{\max} - \omega_{\min})/3}{(\omega_{\max} - \omega_{\min})/3},$$

где ω_{\min} и ω_{\max} — частоты ЯМР при ориентации ядерного спина вдоль и поперек оси анизотропии.

Если направление оси анизотропии в локальной системе имеет координаты θ_a и φ_a , то при распределении намагниченности (1) зависимость α от φ имеет вид $\alpha = \sin \theta \sin \theta_a \cos(\varphi - \varphi_a) + \cos \theta \cos \theta_a$. В спектре поглощения возможны два сигнала ЯМР ДГ. Частота первого ν_1 зависит от полярного угла θ_a оси анизотропии $\nu_1 = 1 - 3 \cos^2(\theta - \theta_a)$. Соответствующие этому сигналу корни уравнения (2) определяются величиной азимутального угла φ_a : $\varphi_1 = \varphi_a$. Для существования сигнала необходимо выполнение условия $|\varphi_1| \leq \varphi_0$. Частота второго сигнала ν_2 не зависит от ориентации оси анизотропии $\nu_2 = 1$. Соответствующие этому сигналу корни определяются уравнением $\cos(\varphi_2 - \varphi_a) = -\operatorname{ctg} \theta \operatorname{ctg} \theta_a$. Для существования второго сигнала кроме условия $|\varphi_2| \leq \varphi_0$ необходимо выполнение неравенства $|\operatorname{ctg} \theta \operatorname{ctg} \theta_a| \leq 1$.

Обозначим индексами i_1 и i_2 частоты первого ν_{i_1} и второго ν_{i_2} сигналов i -й группы ядер и соответствующие им корни уравнения (2) φ_{i_1} и φ_{i_2} ($i = 1 - 7$ для ядер ионов с ориентацией оси анизотропии вдоль направлений $[100]$, $[010]$, $[001]$, $[111]$, $[\bar{1}\bar{1}\bar{1}]$, $[1\bar{1}\bar{1}]$, $[11\bar{1}]$ кубической ячейки кристалла).

Для 180° ДГ существуют два сигнала ЯМР от каждой группы ядер. Для границы, намагниченность в которой поворачивается от оси $[\bar{1}\bar{1}\bar{1}]$ к оси $[111]$, выражения для частот сигналов и корней уравнения (2) приводятся к виду

$$\begin{aligned} \nu_{11} &= -2 \cos^2 \psi, & \operatorname{tg} \varphi_{11} &= -(\sqrt{2} \cos \psi)^{-1}, \\ \nu_{21} &= -2 \cos^2(\pi/3 + \psi), & \operatorname{tg} \varphi_{21} &= (\sqrt{2} \cos(\pi/3 + \psi))^{-1}, \\ \nu_{31} &= -2 \cos^2(\pi/3 - \psi), & \operatorname{tg} \varphi_{31} &= (\sqrt{2} \cos(\pi/3 - \psi))^{-1}, \\ \nu_{41} &= -2, & \varphi_{41} &= \pm \pi/2, \\ \nu_{51} &= -(2 - 8 \cos^2 \psi)/3, & \operatorname{tg} \varphi_{51} &= (2\sqrt{2} \cos \psi)^{-1}, \\ \nu_{61} &= (2 - 8 \cos^2(\pi/3 + \psi))/3, & \operatorname{tg} \varphi_{61} &= -(2\sqrt{2} \cos(\pi/3 + \psi))^{-1}, \\ \nu_{71} &= (2 - 8 \cos^2(\pi/3 - \psi))/3, & \operatorname{tg} \varphi_{71} &= -(2\sqrt{2} \cos(\pi/3 - \psi))^{-1}, \\ \varphi_{i_2} &= \varphi_{i_1} \pm \pi/2 \quad (\text{знак выбирается из условия } |\varphi_{i_2}| \leq \pi/2). \end{aligned}$$

Для не 180° ДГ число сигналов ЯМР ограничено вышеприведенными условиями. Для 71° ДГ ($M_1 \parallel [111]$, $M_2 \parallel [\bar{1}\bar{1}\bar{1}]$, угол ψ отсчитывается от плоскости ($\bar{1}\bar{1}0$)) при изменении ψ в интервале $[0, \pi/2)$ частоты сигналов и корни уравнения (2) определяются выражениями

$$\varphi_{11} = \varphi_{21} = \varphi_{32} = 0,$$

$$\nu_{11} = 1 - \left(\sqrt{2} \sin \psi \sin(\psi - \pi/4) + \sqrt{3 - 2 \sin^2 \psi} \cos(\psi - \pi/4) \right)^2,$$

$$\nu_{21} = 1 - \left(\sqrt{2} \sin \psi \sin(\psi - \pi/4) - \sqrt{3 - 2 \sin^2 \psi} \cos(\psi - \pi/4) \right)^2,$$

$$\varphi_{41} = \varphi_0; \quad \varphi_{71} = -\varphi_0; \quad \nu_{41} = \nu_{71} = -2,$$

$$\nu_{51} = \nu_{61} = 2 \sin 2\psi \left(\sqrt{3 + \sin^2 2\psi} - \sin 2\psi \right) / 3; \quad \operatorname{tg} \varphi_{51} = 1 / \left(\sqrt{2} \sin \psi \right),$$

$$\operatorname{tg} \varphi_{52} = \cos \theta \left(\sqrt{2} \cos \psi - \sqrt{3} \right) / \left(1 + \sqrt{6} \cos^2 \theta \cos \psi \right); \quad \varphi_{62} = -\varphi_{52},$$

Корни φ_{51} и $\varphi_{61} = -\varphi_{51}$ и соответствующие им сигналы существуют при $\psi \geq \pi/4$.

Для 109° ДГ ($M_1 \parallel [111]$, $M_2 \parallel [\bar{1}\bar{1}\bar{1}]$, угол ψ отсчитывается от плоскости ($1\bar{1}0$)) аналогичные выражения имеют вид

$$\operatorname{tg} \varphi_{11} = 1 / \sin \psi; \quad \varphi_{21} = -\varphi_{11};$$

$$\nu_{11} = \nu_{21} = I - 0.5 \left(\sqrt{3 - \sin^2 \psi} \sqrt{1 + \sin^2 \psi} - \sin \psi \cos \psi \right)^2,$$

$$\operatorname{tg} \varphi_{12} = \sin \psi \left(\cos \psi - \sqrt{3 + \sin^2 \psi} \right) / \left(\cos \psi \sin^2 \psi + \sqrt{3 + \sin^2 \psi} \right);$$

$$\varphi_{22} = -\varphi_{12}, \quad \varphi_{31} = 0;$$

$$\nu_{31} = 1 - \left(\sin^2 \psi - \cos \psi \sqrt{3 - \sin^2 \psi} \right)^2; \quad \varphi_{41} = -\varphi_0; \quad \varphi_{71} = \varphi_0,$$

$$\nu_{41} = \nu_{71} = -2; \quad \varphi_{51} = \varphi_{61} = 0; \quad \nu_{51} = \sqrt{2} \sin 2(\psi + \theta) - \cos^2(\psi + \theta),$$

$$\nu_{61} = -\sqrt{2} \sin 2(\psi + \theta) - \cos^2(\psi + \theta),$$

$$\cos(\varphi_0 - \varphi_{42}) = -\sin^2 \psi / (3 - \sin^2 \psi); \quad \varphi_{72} = -\varphi_{42},$$

$$\cos \varphi_{62} = -\cos \theta \left(\sin \psi + \sqrt{2} \cos \psi \right) / \sin \theta \left(\sqrt{2} \sin \psi - \cos \psi \right).$$

Корни φ_{11} и φ_{21} существуют при $\sin \psi \geq 1/\sqrt{3}$, φ_{62} при $\psi > 67.5^\circ$.

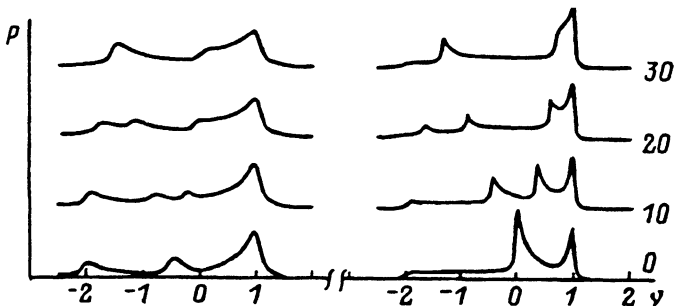


Рис. 1. Форма линии сигнала поглощения 180° ДГ.

При произвольной ориентации границы $\nu_{12} = \nu_{22} = \nu_{32} = 1$ и $\nu_{42} = \nu_{52} = \nu_{62} = \nu_{72} = 1$ и в спектре ядер d -ионов наблюдаются четыре, а в спектре ядер a -ионов — пять сигналов ЯМР ДГ. При ориентации границы, соответствующей минимуму ее энергии в неограниченном кристалле ($\psi = 0$), $\nu_{21} = \nu_{31} = -1/2$ и $\nu_{61} = \nu_{71} = 0$ и число сигналов уменьшается на единицу.

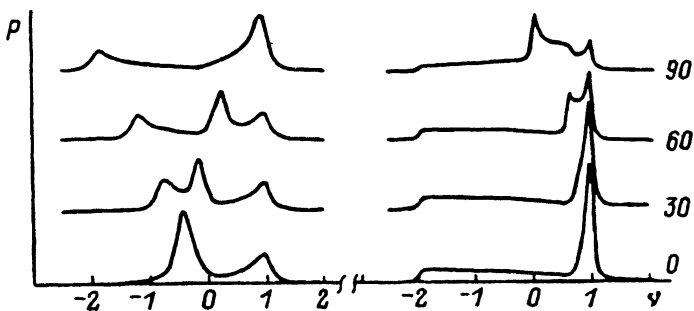


Рис. 2. Форма линии сигнала поглощения 71° ДГ.

Положение ядер d -ионов, формирующих три максимума поглощения, соответствует центру ДГ и не зависит от ψ . В неограниченном монокристалле минимальной энергией обладают границы с $\psi = 0$.

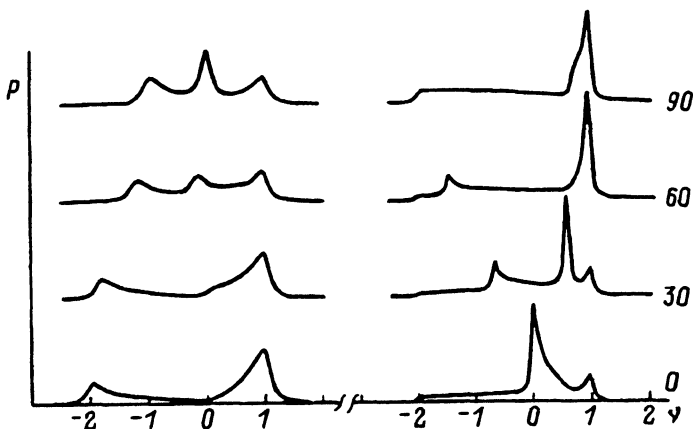


Рис. 3. Форма линии сигнала поглощения 109° ДГ.

При $\psi = 80$ (минимум энергии ДГ в неограниченном кристалле) максимум поглощения, соответствующий сигналу ν_{61} , не разрешается от максимума, соответствующего сигналам $\nu_{42} = \nu_{62} = \nu_{72} = 1$.

Для учета неоднородности коэффициента усиления представим частотную зависимость ЯМР поглощения в виде [4]

$$P(\nu) = N \int_{-\varphi_0}^{\varphi_0} |d\varphi/dz| f[\nu - \nu_n(\varphi)] d\varphi, \quad (3)$$

где ν — переменная частота, N — постоянный множитель, f — локальная функция формы линии. При квазистатическом движении ДГ $d\varphi/dz$ определяется уравнением [5]

$$A \sin^2 \theta (d\varphi/dz)^2 = G(\varphi) - G(\varphi_0), \quad (4)$$

где A — константа обменного взаимодействия, G — зависящая только от φ часть плотности свободной энергии, $G(\varphi_0)$ — ее значение при $\varphi = \varphi_0$.

Форма линии ЯМР ДГ приведена на рис. 1–3. Кривые в левой половине получены равновесным суммированием выражения (3) для трех групп ядер d -ионов. В правой половине приведены аналогичные суммы для ядер a -ионов. При расчетах локальная форма линии аппроксимировалась распределением Лоренца.

В экспериментальных спектрах, полученных как непрерывным [6], так и импульсным [7] методами, отсутствует характерный для 180° границ сигнал на частоте $\nu = 0$ от ядер a -ионов. Вероятно, это является следствием малой подвижности 180° границ на частотах ЯМР. Различие ДГ в монокристаллических и поликристаллических образцах иттриевого феррита-граната может быть причиной наблюдаемого в них несовпадения частот ЯМР ДГ [7].

Работа частично поддержана грантом ISF J49100 и грантом 94-02-04737 Российского фонда фундаментальных исследований.

Список литературы

- [1] М.И. Куркин, С.В. Иванов. В сб.: Динамические и кинетические свойства магнетиков. Наука. М. (1986). С. 197.
- [2] В.К. Власко-Власов, Л.М. Дедух, В.И. Никитенко. ЖЭТФ 71, 5, 2292 (1976).
- [3] R.L. Streever, P.J. Caplan. Phys. Rev. B4, 2881 (1971).
- [4] G.A. Murray, W. Marshall. Proc. Phys. Soc. 86, 315 (1965).
- [5] А. Хуберт. Теория доменных стенок в упорядоченных средах. Мир. М. (1977). 306 с.
- [6] С.В. Серегин, Р.А. Дорошенко, В.А. Тимофеева, Р.С. Фахретдинова. Письма в ЖЭТФ 50, 130 (1989).
- [7] P.C. Riedi. Zammit-Mangion. Phys. Stat. Sol. (a) 87, K163 (1985).